



سازوکار شکل گیری ندول‌های تورمالین در منطقه‌ی بروجرد (دهگاه-سرسختی)

زهرا طهماسبی

گروه زمین‌شناسی، دانشکده علوم، دانشگاه لرستان

(دریافت مقاله: ۹۱/۱۱/۲۲، نسخه نهایی: ۹۲/۳/۱۳)

چکیده: بر اساس مشاهدات صحرایی، سنگ میزان گرهک‌های تورمالین منطقه‌ی دهگاه، از دایک‌های اسیدی (آپلیت‌ها) و در منطقه سرسختی، از مونزو-گرانیت‌ها تشکیل شده‌اند. در این مناطق، گرهک‌ها از تورمالین، کوارتز و فلدسپار قلیابی به وجود آمده‌اند با این تفاوت که میزان کانی‌های روشن در گرهک‌های دهگاه کمتر است. بیهنجاری منفی Eu، غنی شدگی از REE، کاهش HREE و الگوی جدایش یافته از عناصر نادر خاکی در سنگ‌های میزان این دو منطقه دلالت بر خاستگاه ماقمای مولد آن‌ها از ذوب بخشی متاپلیت‌ها دارد. وجود منطقه بندي، داشتن ترکیب شورلیت - دراویت تورمالین‌ها، انباست گرهک‌ها در سقف توده و کاهش فراوانی آن‌ها با افزایش عمق، نسبت پایین Fe/Fe+Mg در برخی از گرهک‌ها (دواویت)، وجود هاله‌ی روشن و شکاف‌های مومنند پیرامون گرهک‌های سرسختی از جمله شواهدی است که جدایش شاره به وجود آورندگی آن‌ها به آرامی رخ داده و با شاره سنگ درونگیر (متاپلیت‌ها) واکنش داده و در یک شرایط ماقمایی - گرمابی شکل گرفته‌اند. در حالی که تورمالین‌های دهگاه با داشتن ترکیب شورلیت، سنگ میزان با ساخت صفحه‌ای (آپلیت)، عدم منطقه بندي، نبود هاله‌ی روشن و عدم وجود شکاف‌های مومنند نشان می‌دهند که شاره‌ی ماقمایی بوردار با شاره‌ی درونگیر (متاپلیت‌ها) واکنش نداده و به سرعت در دایک‌های اسیدی میزان این دو منطقه کاملاً ماقمایی تزریق و منجر به تبلور گرهک‌های تورمالین شده است. بنابراین رفتار و سرعت متفاوت بور در سیستم‌های ماقمایی - گرمابی، فاکتور اصلی انباست تورمالین و تشکیل گرهک در این دو منطقه بوده است.

واژه‌های کلیدی: سرسختی؛ دهگاه؛ گرهک تورمالین؛ شورلیت - دراویت.

نیست [۵]

برای انباست تورمالین در سنگ‌های گرانیت‌وئیدی، اسامی متفاوتی با نام‌های لکه، غده، نقطه، کره، زنگوله، بسته، گرهک، لخته، ندول و غیره استفاده می‌شود [۷-۵] که در حقیقت به صورت انباستی کروی با خاستگاه و شکل ظاهری متفاوت دیده می‌شوند و شامل یک هسته از تورمالین + کوارتز + فلدسپار با قطر یک تا ۱۰ سانتی مترند. این انباست‌های کروی گاهی با حاشیه‌های سفید و گاهی بدون حاشیه مشاهده می‌شوند. با وجود اینکه تا کنون گرهک‌های تورمالین توسط پژوهشگران متعددی مورد بحث و بررسی قرار گرفته‌اند، ولی هنوز خاستگاه،

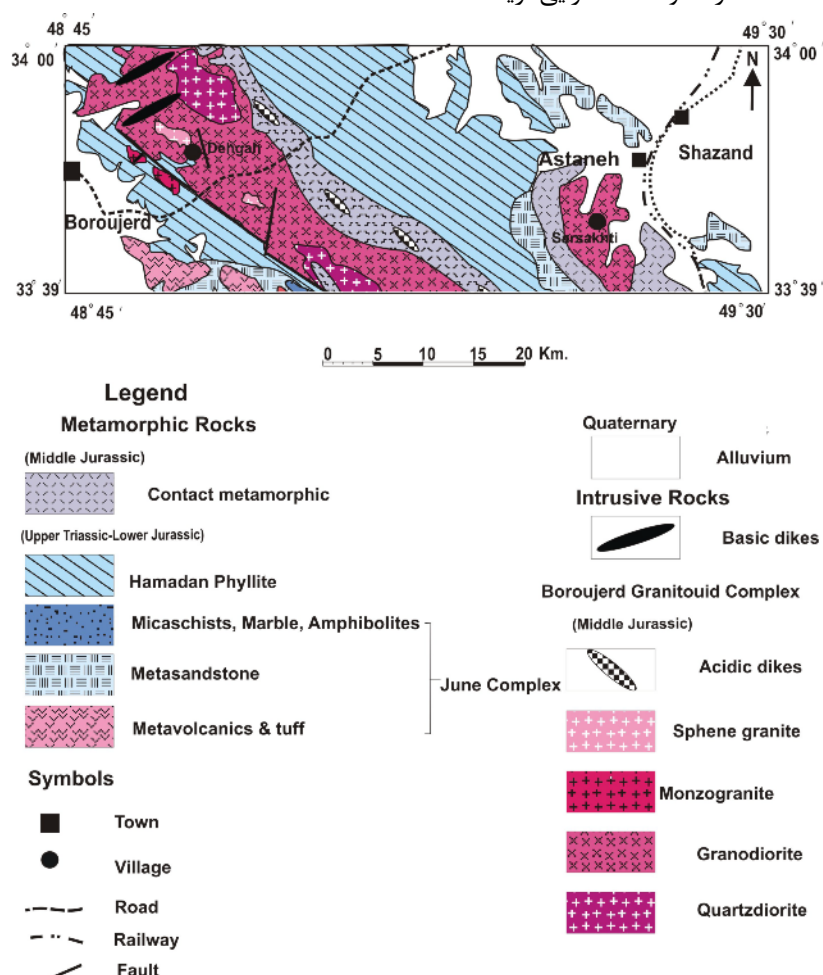
مقدمه

تورمالین یک کانی آبدار بوروسیلیکاتی با فرمول $X=Ca, Na, K, [□ XY_3Z_6(T_6O_{18})(BO_3)_3 Y= Li, Mg, Fe^{2+}, Mn^{2+}, Al, Cr^{3+}, V^{3+}, :vacancy]$ $T= Si, Al, :Z= Mg, Al, Fe^{3+}, V^{3+}, Cr^{3+}, Fe^{3+}, (Ti^{4+})$ $B= B, [□ vacancy]$: این کانی در دما، فشار و محیط-های زمین‌شناسی مختلفی به وجود می‌آید [۴-۱]. در سنگ-های گرانیتی تورمالین عموماً به صورت همگن متابلور می‌شود و ترکیب شورلیت و گاهی البائیت دارد اما هنگامی که به شکل-های خاص از جمله گرهکی یا کروی است، سازوکار آن ساده

شناسی گرهک‌ها، سنگنگاری مرکز و حاشیه گرهک و سنگ‌های میزبان آن‌ها، ژئوشیمی گرانیت‌های داده‌های شیمی بلور تورمالین‌های گرهکی دهگاه و سرخستی است.

زمین‌شناسی عمومی

منطقه‌ی مورد بررسی در استان‌های لرستان و مرکزی شرق و شمال شرق شهرستان بروجرد بین طول‌های جغرافیایی $48^{\circ}45'$ - $48^{\circ}40'$ تا $34^{\circ}30'$ - $34^{\circ}35'$ شرقی و عرض‌های جغرافیایی در $38^{\circ}33'$ - $38^{\circ}49'$ تا $33^{\circ}30'$ - $33^{\circ}35'$ شمالی واقع شده‌است [۱۵] (شکل ۱). این منطقه از نظر زمین‌شناسی بخشی از منطقه‌ی سنتندج-سیرجان محسوب می‌شود و علی‌رغم زمین ساخت شدیدی که پیچیدگی‌هایی در زمین‌شناسی منطقه به وجود آورده‌است، می‌توان ردیفی از سنگ‌ها را تشخیص داد به طوری که قدیمی‌ترین سنگ‌ها در این منطقه به پالئوزوئیک وابسته است و نهشته‌های قدیمی‌تر از تریاس فوقانی وجود ندارد [۱۶].



شکل ۱ نقشه زمین‌شناسی منطقه مورد بررسی [۱۵].

ویژگی‌های فیزیکی و شیمیایی آن‌ها به‌طور دقیق مشخص نشده است. با این حال در این مورد چهار سازوکار مطرح‌اند که عبارتند از:

- ۱- گرهک‌ها از جانشینی پسا ماقمایی (تأخری) یک شاره‌ی غنی از B مراحل انتهایی تبلور ماقما که باعث دگرسانی گرانیت‌های از پیش متبلور شده می‌شوند، به وجود می‌آیند. این شاره در شکستگی‌ها و شکاف‌های ریزی که در مرز بلورها وجود دارند، تزریق می‌شوند [۹،۸].
- ۲- جدایی شاره‌ی غنی از B آبدار غیر قابل آمیخته شدن، از شاره‌ی گرانیتی در مرحله ماقمایی- گرمابی باعث تشکیل گرهک‌های تورمالین می‌شود [۱۳-۱۰].
- ۳- جانشینی شاره‌ی غنی از B در زینولیت‌های پهنه‌ای [۷].
- ۴- تبلور از یک توده‌ی گرانیتی غنی از B [۱۴].

هدف از ارائه این مقاله بررسی چگونگی تشکیل و خاستگاه گرهک‌های تورمالین با استفاده از شواهد صحرایی، ریخت

دیده می‌شوند (شکل ۲ الف و ب) و در روستای سرخستی نیز مونزوگرانیت‌های تورمالین داری وجود دارند که تورمالین همراه با کوارتز به صورت گرهک روی سطح این سنگ‌ها تشکیل شده است (شکل ۲ پ و ت).

کانی‌های اصلی دایک‌های اسیدی دهگاه و مونزوگرانیت‌های سرخستی عبارتند از کوارتز، پلاژیوکلاز، بیوتیت، فلدسپار پتاسیم و فازهای فرعی شامل زیرکن، آپاتیت و کانی‌های کدر. کوارتز با بافت موزاییکی با اندازه‌ی یک میلی‌متر مشاهده می‌شود. پلاژیوکلاز با اندازه‌ی مشابه با کوارتز و همراه با آن دیده شد. بیوتیت با سمت‌گیری ضعیف و گاه دگرسان شده به کلربیت است. در نمونه‌ی دستی، گرهک‌های سرخستی دارای بخش مرکزی تیره و حاشیه‌ی روشاند که این حاشیه روشان در واقع یک منطقه‌ی انتقالی بین مونزوگرانیت‌های میزبان و هسته‌ی گرهک‌هاست. این تغییر رنگ در نتیجه تبادل‌های یونی بین مرکز و حاشیه گرهک‌های تورمالین به وجود آمده است و در نتیجه منجر به پایداری بیشتر مرکز گرهک نسبت به حاشیه‌ی آن شده است. هاله‌ی روشان گرهک‌های سرخستی فاقد کانی‌های مافیک از جمله بیوتیت است و شامل کوارتز، فلدسپار پتاسیم و مسکوویت با اشکال بافتی مشابه با مونزوگرانیت‌های میزبان است با این تفاوت که اندازه آن‌ها تغییر کرده است (شکل ۲ پ و ت). از ویژگی‌های روشان گرهک‌های دهگاه که در دایک‌های اسیدی (آپلیت‌ها) مرحله پایانی تبلور مagma تشکیل شده‌اند، تیره‌تر بودن و بدون حاشیه‌ی روشان پیرامون آن‌هاست (شکل ۲ الف و ب). از تفاوت‌های ظاهری دیگر در شکل گرهک‌های این دو منطقه وجود شکاف‌های مومنند یا میارولیتی در گرهک‌های سرخستی و عدم هرگونه شکستگی در گرهک‌های دهگاه است. وجود شکاف‌های مومنند در گرهک‌های منطقه سرخستی شاهد مهمی برای به دام افتادن شاره‌های غنی از B در مراحل انتهایی تبلور مagmaست.

هسته‌ی گرهک‌ها شامل تورمالین، کوارتز و فلدسپار است. در هر دو منطقه، تورمالین در گرهک‌ها سمت‌گیری خاصی ندارد. کوارتز و فلدسپار در مرکز گرهک‌های سرخستی بیشتر قابل مشاهده‌اند. تورمالین در مرکز گرهک‌های دهگاه متراکم‌تر و عموماً بدون رده‌بندی مشخص است در حالی که

بالاترین بخش از ردیف دگرگونی را سنگ‌های پهنه‌ای دگرگون شده موسوم به فیلیت‌های همدان تشکیل می‌دهند که دستخوش دگرگونی دماجنبشی در حد رخساره شیست‌سیز (زون کلریت) قرار گرفته‌اند و بیشتر شامل اسلیت و فیلیت می‌شوند [۱۷]. مهم‌ترین حادثه‌ی زمین‌شناسی که در این ناحیه رخ داده‌است پیدایش توده‌های گرانیت‌وئیدی بروجرد و آستانه در زمان ژوراسیک میانی است که درون این فیلیت‌ها نفوذ کرده‌اند و دگرگونی مجاورتی که با شیست‌های لکه‌دار شروع و به هورنفلس‌ها و میگماتیت‌ها ختم می‌شود در اثر نفوذ آن‌ها رخ داده‌اند ([۱۸، ۱۵]، شکل ۱).

روش کار

برای تعیین ترکیب، نوع و خاستگاه تورمالین‌های گرهکی در مناطق مورد بررسی، در مجموع ۱۵ نمونه از گرهک‌های تورمالین روستاهای دهگاه و سرخستی برداشت و مقطع نازک و نازک-صیقلی از آن‌ها تهیه شد.

از گرانیت‌وئیدهای میزبان آن‌ها که در دهگاه دایک‌های اسیدی (آپلیت‌ها) و در سرخستی مونزوگرانیت‌ها هستند نیز نمونه برداری شد. گرهک‌های دهگاه و قسمتی از گرهک‌های سرخستی در اکلاهمای آمریکا و بخشی دیگر با استفاده از Super probe 8400 و استانداردهای مختلف در آزمایشگاه Huelva ریز پردازنده‌ی الکترونی دانشگاه اسپانیا مورد بررسی‌های نقطه‌ای قرار گرفتند. همچنین گرهک‌های تورمالین از سنگ میزبان جدا شده و از آن‌ها آنالیز شیمی عناصر اصلی، کمیاب و نادر خاکی (REE) به روش ICP-MS و ICP-AES (REE) به روش ALS Chemex کانادا انجام شد.

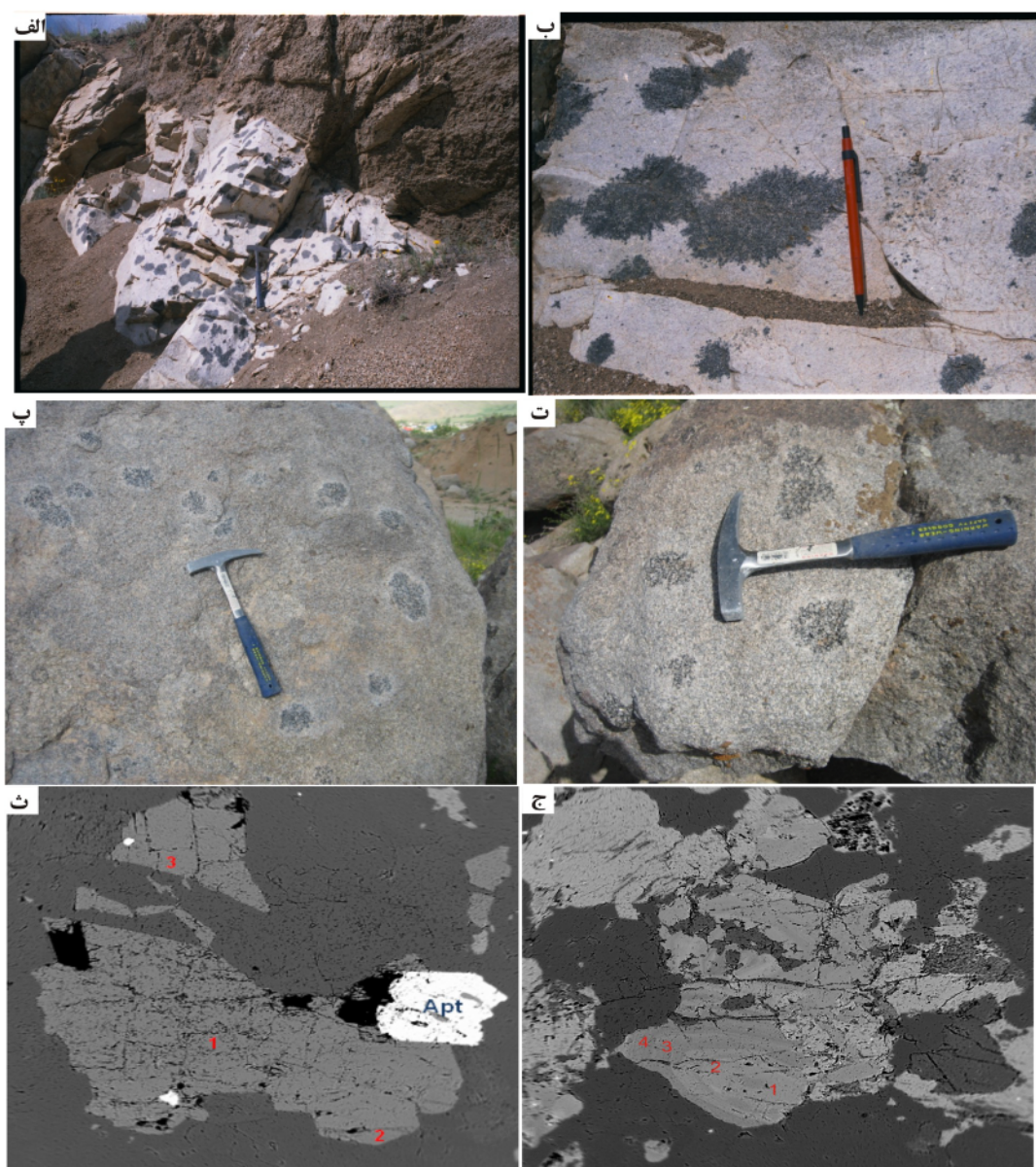
آنالیز شیمی عناصر اصلی، کمیاب و نادر خاکی (REE) از مونزوگرانیت‌های میزبان گرهک‌های سرخستی در دانشگاه Huelva و از دایک‌های اسیدی (آپلیت‌ها) میزبان گرهک‌های دهگاه در آزمایشگاه ALS Chemex کانادا انجام شده است. آنالیزهای نقطه‌ای از تورمالین‌های گرهکی هر دو منطقه از [۲۰، ۱۹] اقتباس شدند و هدف تعیین سازوکار شکل‌گیری گرهک‌ها با استفاده از مقایسه شیمیایی سنگ میزبان و گرهک‌هاست.

سنگ نگاری گرهک‌ها و سنگ میزبان در حوالی روستای دهگاه رگههای اسیدی (آپلیت‌ها) حاوی تورمالین برونزد دارند که تورمالین به صورت لکه‌ها یا گرهک

زمین شیمی

نتایج داده‌ها (جدول ۱) نشان می‌دهد که میزان $MgO = 0.3-1.4$, $Al_2O_3 = 16.7-18$, $SiO_2 = 69.2-70.1$, $K_2O = (2/3-3/7)$, $CaO = 2.8-3.6$, $Fe_2O_3 = 0.4-1.2$, $Na_2O = (2.8-4.2)$ است. شاخص پرآلومینه $ASI = 1.21-1.31$ ، میزان پایین عناصر فرومیزین همراه با مقادیر بالای LILE (عناصر با شاعع یونی بالا) و عناصر کمیاب (199.6 - 1.02) $Rb(86-117.6)$, $Sr(95.2-225)$, $Ba(10.2$) در سنگ میزان گرهک‌های سرخستی و دهگاه دیده می‌شوند.

در تورمالین‌های گرهکی سرخستی رده‌بندی روش‌نی در تورمالین‌ها دیده می‌شود. رده‌بندی معمولاً بیانگر تغییر ترکیب شاره در طول تبلور تورمالین است. مناطق روش‌نی در تصاویر BSE (شکل ۲ ث و ج) مناطق با تمرکز بالاتری از آهن را نشان می‌دهند که توانسته‌اند الکترون بیشتری را خارج کنند بدین ترتیب مناطق تیره‌تر تمرکز پایین‌تری از آهن داشته و توانسته‌اند الکترون‌های بیشتری را منتشر کنند [۵].



شکل ۲ تصاویر صحرایی واحد‌های تورمالین دار. الف و ب: گرهک‌های تورمالین در دهگاه اسیدی دار. پ و ت: گرهک‌های تورمالین در مونزوگرانیت‌های سرخستی. ث: تصویر BSE گرهک‌های تورمالین دار دهگاه ج: تصویر BSE گرهک‌های تورمالین دار سرخستی.

جدول ۱ آنالیزهای عناصر اصلی، کمیاب و نادر خاکی از گردهکها و سنگ میزان آن‌ها در دو منطقه دهگاه و سرخستی.

	نдол دهگاه	نдол سرخستی	مونزوگرانیت سرخستی	دایک اسیدی دهگاه
SiO ₂	۷۰,۳	۵۰,۷	۷۰,۱	۶۹,۲
Al ₂ O ₃	۱۶,۴	۲۵,۹	۱۶,۷	۱۸
Fe ₂ O ₃	۵,۳	۱۰,۷	۱,۲	۰,۴
CaO	۰,۷	۰,۲	۲,۸	۳,۶
MgO	۱,۲	۱,۷	۱,۴	۰,۳
Na ₂ O	۱,۳	۱,۶	۲,۸	۴,۲
K ₂ O	۰,۹	۰,۲	۳,۷	۲,۳
MnO	۰,۰۴	۰,۱۶	۰,۰۶۴	۰,۰۱
LOI	۲,۸	۳,۱	۱	۱,۵
La	۲۵,۶	۲۰,۲	۲۳	۵۳
Ce	۶۸,۳	۶۱,۲	۴۶,۶	۱۰۲
Pr	۶,۵	۴,۴	۵,۵	۱۱,۲
Nd	۲۳,۴	۱۹,۴	۱۹,۴	۴۰,۹
Sm	۶,۱	۴,۲	۳,۵	۷,۴
Eu	۰,۲	۰,۴	۰,۵	۰,۹
Gd	۵,۵	۳,۹	۳	۷,۲
Tb	۱	۰,۸	۰,۵	۱,۱
Dy	۴,۹	۳,۹	۲,۵	۶,۹
Ho	۰,۹	۰,۶	۰,۵	۱,۵
Er	۱,۶	۱,۳	۱,۲	۴,۸
Tm	۰,۲	۰,۱	۰,۲	۰,۷
Yb	۰,۹	۰,۸	۱,۲	۴,۵
Lu	۰,۲	۰,۱	۰,۲	۰,۷
Ba	۳۵,۲	۵,۴	۱۹۹,۶	۱۰۲
Sr	۲۵,۴	۲۱,۲	۹۵,۲	۲۲۵
Rb	۲۷,۸	۱۴	۱۱۷,۶	۸۶
Ni	۱۰	۵	۷,۸	۸
Co	۱۰,۲	۲,۳	۶,۱	۰,۵
Cr	۱۵,۰	۱۳۰	۱۴۵,۵	۹۰,۷
Nd	۲۳,۴	۱,۹	۱۹,۴	۴۰,۹
Ta	۱,۴	۲,۱	۲,۳	۳,۷
W	۱	۱	۹,۱	۴,۴
Zn	۶۴	۱۱۴	۱۹,۷	۳۵,۹
Zr	۴۰	۴	۷۰,۴	۲۸۰
U	۱,۲	۰,۳	۲,۴	۱
Hf	۱,۵	۰,۴	۲,۳	۱,۸
Eu/Eu*	۰,۱	۰,۳	۰,۵	۰,۴
(La/Yb)N	۱۹,۲	۱۷,۷	۱۳,۵	۷,۹
Σ REE	۱۴۵,۲	۱۲۱,۳	۱۰۷,۶	۲۴۲,۷

Na, Ca, K در هر دو منطقه و کاهش چشمگیر در Fe, Mg نسبت به سنگ میزان به خوبی در شکل ۳ الف مشخص شده-

مقایسه عناصر اصلی گردهک با سنگ میزان آن‌ها در شکل ۳ الف دیده می‌شود. بالاتر بودن مقادیر عناصر فرومیزین مانند

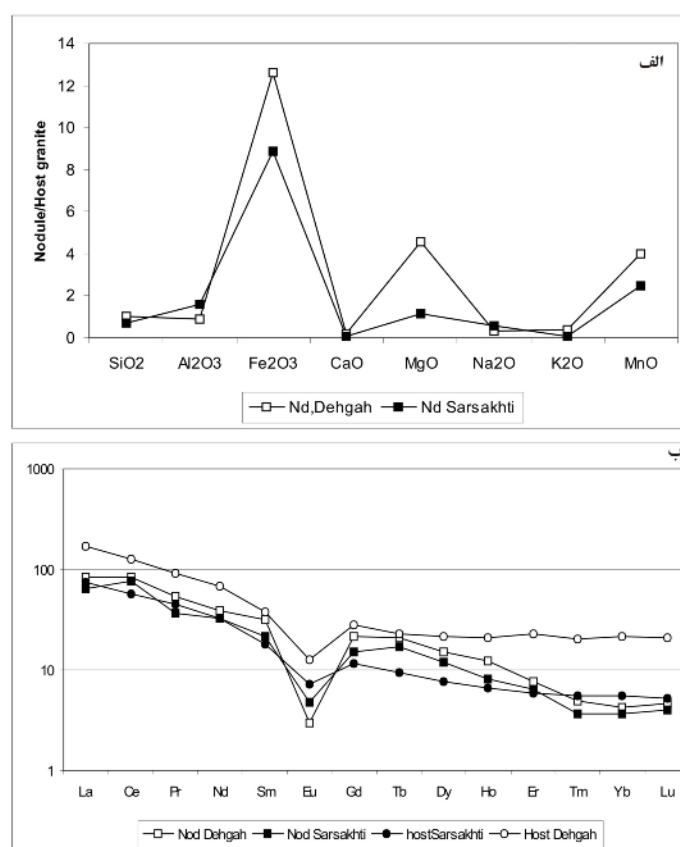
مقادیر $\text{Rb}(14\text{-}27)$, $\text{Sr}(21\text{-}25)$, $\text{Ba}(5/4\text{-}35)$ پایین در گرهک‌ها متفاوت از گرانیتوئیدهای میزبانند. بی‌هنگاری $\text{Eu}/\text{Eu}^* = 0.10/3$ است با منفی و برابر $(\text{Eu}/\text{Eu}^*)_{\text{LREE}} = -0.10/3$. بی‌هنگاری منفی چشمگیر Eu در گرهک‌های سرسختی و دهگاه (شکل ۵) در مقایسه با گرانیتوئیدهای میزبان به دلیل درصد کم فلدسپار قلیایی در گرهک‌ها و در نتیجه کاهش Eu , Ba , Sr و Rb در نهایت خواهد بود. مقادیر پایین در گرانیتوئیدهای میزبان نسبت به گرهک‌ها به دلیل کاهش مقادیر کانی‌های مافیک در آنهاست.

ترکیب شیمیایی گرهک‌های تورمالین مناطق سرسختی و دهگاه در [۲۰، ۱۹] آمده است. در نمودار $\text{Fe}/\text{Fe+Mg}$ نسبت به $\text{X}\square/\text{X}\square+\text{Na}$ ترکیب تورمالین در هر دو منطقه مورد بررسی نشان داده شده است (شکل ۴). تورمالین‌های منطقه دهگاه با ترکیب شورولیت (شکل ۴) و گرهک‌های سرسختی دارای رده بندی مشخصی از هسته غنی از آهن با حاشیه فقیر از منزیزم بوده (شکل ۵ الف) و در منطقه دهگاه تقریباً بدون رده بندی مشخص (شکل ۵ ب) هستند.

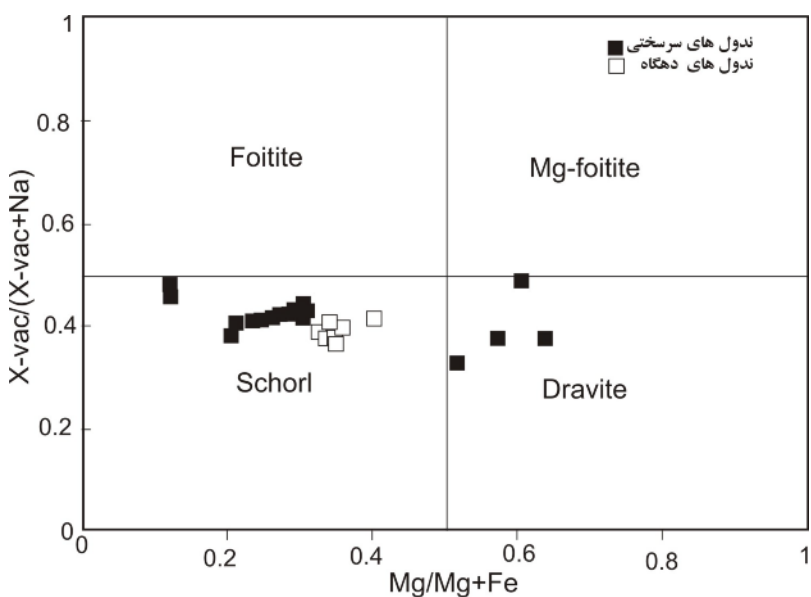
اند. بالاتر بودن عنصر K در گرهک‌های دهگاه نسبت به سنگ میزبان خود در مقایسه با گرهک‌های سرسختی نسبت به سنگ میزبان شان به دلیل نبودن حاشیه‌ی روشن در پیرامون گرهک‌های این منطقه و در نتیجه عدم تشکیل کانی فلدسپار قلیایی در حاشیه گرهک‌هاست.

گرانیتوئیدهای میزبان گرهک‌ها الگوی جدا شده‌ای از عناصر REE نشان می‌دهند (شکل ۳ ب). غنی شدگی در $\sum \text{REE} = (242/7)$, $\text{Eu} = (107/6)$, $\text{LREE} = (0.4-0.5)$, $\text{Eu}/\text{Eu}^* = (0.4-0.5)$, $(\text{La}/\text{Yb})_{\text{N}} = (7.9-13.5)$ و الگوی $\text{Eu}/\text{Eu}^* = (0.4-0.5)$, $(\text{La}/\text{Yb})_{\text{N}} = (7.9-13.5)$ مسطح HREE همگی دلالت بر ذوب سنگ‌های پهنه‌ای دارند [۲۱].

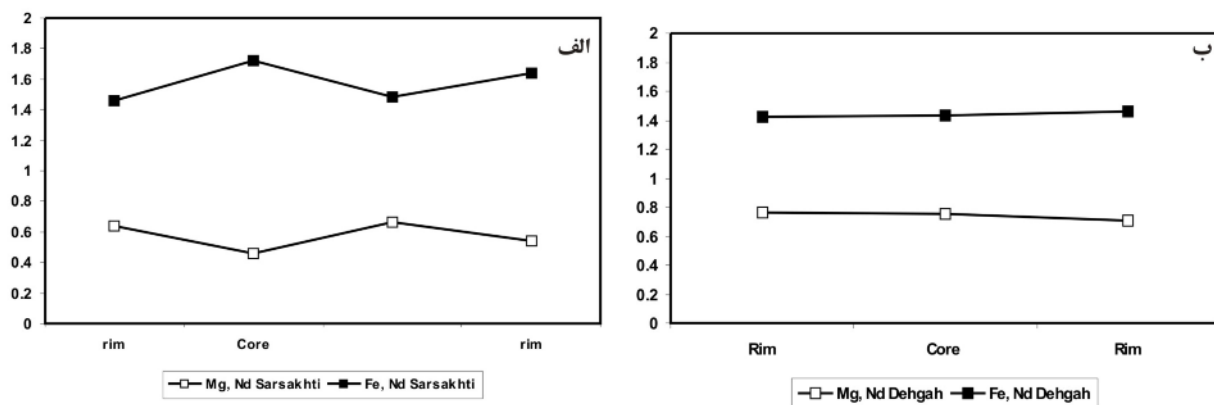
هسته گرهک تورمالین دارای مقادیر بالایی از $(5/3-10/7)$, $\text{MgO} = (1.2-1.7)$, $\text{Fe}_2\text{O}_3 = (0.2-0.7)$, $\text{CaO} = (0.2-0.9)$, $\text{Na}_2\text{O} = (1.3-1.6)$, $\text{K}_2\text{O} = (0.2-0.9)$, $\text{LOI} = (2.8-3)$ آن بالاست (شکل ۳ الف). مقادیر بالای LOI با فرآیند دگرسانی مجموعه‌ی کانی‌ها و یا فاز شاره‌ی بدام افتاده برای تشکیل تورمالین قابل توجیه است.



شکل ۳ الف- ترکیب شیمیایی عناصر اصلی گرهک‌های تورمالین عادی شده به سنگ میزبان آنها ب- نمودار عناصر نادر خاکی که نسبت به کندریت [۲۱] نرمال شده اند.



شکل ۴ ترکیب تورمالین های مورد بررسی: تورمالین های دهگاه در گستره‌ی شورلیت و تورمالین های سرسختی در گستره‌ی شورلیت – دراویت قرار می گیرند (داده ها از [۲۰، ۱۹] اقتباس شده است).



شکل ۵ الف-نمایش الگوی منطقه‌بندی عناصر Fe, Mg از حاشیه در تک بلور تورمالین سرسختی. ب-نیود رده‌بندی در گرهک‌های تورمالین دهگاه. (داده ها از [۱۹] اقتباس شده است).

آهن در شاره پایین می‌آید و منجر به کاهش آن در حاشیه‌ی تورمالین خواهد شد (شکل ۲ ث و ج) [۲۵].

بالاتر بودن MgO و Fe_2O_3 در هسته گرهک‌های دهگاه نسبت به گرهک‌های سرسختی دلیل تیره‌تر بودن آنهاست و با توجه به نبودن کانی‌های مافیک مانند بیوتیت در دایک‌های اسیدی میزبان، گرهک توانسته مقادیری از عناصر فرومیزین را در خود جای دهد (اشکال ۲ الف و ب و ۳ الف).

به عقیده‌ی [۲۶]، هاله‌ی روشن پیرامون گرهک به عنوان یک مرز انتشار عناصر بین مرکز گرهک و گرانیت میزبان آن محاسبه می‌شود. کاهش چشمگیر Na, K, Ca و افزایش Fe در گرهک‌ها مبین حضور این مرز انتشار است.

به عقیده‌ی [۲۳، ۲۲] تورمالین‌های گرمابی با رده بندی مشخص، جانشینی‌های گستردۀ و Mg بالا در حاشیه و Fe بالا در مرکز را نشان می‌دهند. در منطقه‌ی سرسختی (شکل ۲ ج) وجود رده بندی هسته‌ی غنی از آهن و حاشیه‌ی منیزیم بالا حاکی از تغییر ترکیب شاره‌ها در طول تبلور تورمالین است در حالی که تورمالین‌های ماقمایی با $Fe/Fe+Mg$ بالا شرایط فیزیکوشیمیایی یکسانی را در طول تبلور نشان می‌دهند [۲۴]. در مراحل اولیه‌ی تبلور تورمالین از یک محلول ماقمایی، احتمالاً آهن در ترکیب کانی‌های مگنتیت و بیوتیت شرکت نخواهد کرد بنابراین باعث بالا رفتن آهن در مرکز بلور تورمالین می‌شود. همچنین در مراحل انتهایی تبلور تورمالین، غلظت

بحث

آیند. همچنین به عقیده آن‌ها این شاره‌ها خاستگاه تأخیری ندارند بلکه از آغازیا از ماقمای میزان ریشه گرفته‌اند و یا به عبارت بهتر ماقمایی‌اند و شواهد آن را حضور بلورهای شکل‌دار تورمالین در گرانیت‌های میزان می‌دانند.

[۱۰] شواهدی مانند تمرکز گرهک‌ها در سقف بالایی و یا در حاشیه‌ی توده، کاهش فراوانی آن‌ها با افزایش عمق، شکل کروی آن‌ها و فقدان اشکال ساختاری وابسته با شکل یا پراکندگی گرهک را برای اثبات فرضیه خود می‌آورند. آن‌ها عقیده دارند که اشکال بافتی درون گرهک‌ها احتمالاً به دلیل واکنش گدازه‌ی حاوی بلور و شاره‌ی آبدار غنی از F , B , Fe در ماقمای در حال انجامد به دام افتاده‌اند، تشکیل می‌شوند. به‌طوری که در آغاز گدازه و شاره‌ی آبدار ممکن است در تعادل با هم باشند اما هنگامی که سرد شدن ادامه می‌یابد، عدم تعادل رخ می‌دهد. این عدم تعادل باعث واکنش‌هایی از تبادل عناصر در حاشیه گرهک بین فلدسپار و تورمالین می‌شود. بور اضافی به مرکز گرهک می‌رود و باعث تشکیل تورمالین شده و آهن از گرانیت میزان شسته می‌شود. در پایان در گرهک‌هایی که جانشینی گسترد و به آرامی صورت گیرد هاله‌ی روشن در پیرامون گرهک ایجاد می‌شود. همچنین آن‌ها عقیده دارند گرهک‌ها از یک شاره‌ی غنی از بور غیر قابل ترکیب با ماقمای گرانیتی در حال تبلور به وجود می‌آیند که حاوی لخته‌ها یا گرهک‌هایی از تورمالین است و در ضمن حرکت قارچی به دلیل چگالی کمتر نسبت به ماقمای اطراف به سمت بالا حرکت می‌کند.

[۲۹] نشان داد که انباست بور در شاره‌ی انتهایی ماقما باعث بالا رفتن قابلیت حلایت آب در همان شاره خواهد شد. جدایش آب از این شاره همزمان با جدایی بور، شرایط مطلوبی را برای تشکیل لخته‌ها یا انباسته‌های تورمالین در شکاف‌های مومانند فراهم خواهد کرد.

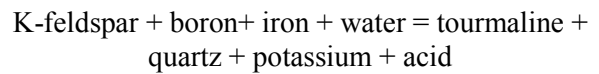
در مورد شکل کروی گرهک‌ها، به عقیده‌ی [۱۴] در طول رشد بلور مقدار انرژی سطحی تمایل به کمینه شدن دارد. زیرا بر اساس قانون گیبس انرژی آزاد سیستم در کمترین میزان خود باقی خواهد ماند بهمین دلیل برای تعادل ترمودینامیکی، سطوح با انرژی سطحی بالا نسبت به سطوح با انرژی سطحی پایین کمتر رشد می‌کنند. بنابراین در طول فرآیند انجامد، کشش سطحی یک فاکتور محدود کننده‌ی رشد محسوب می‌-

گرهک‌های تورمالین شامل انباست تورمالین با شکل تقریباً کروی در سنگ‌های گرانیتی تفریق یافته هستند. این انباست گرمایی‌ها، از مرحله‌ی انتهایی تبلور ماقمای گرانیتی [۲۷] و یا بخارهای ماقمایی ریشه گرفته است که اجازه فرار از سیستم را داشته‌اند [۵، ۱۰، ۱۴-۱۲].

- به‌طور کلی دو نظریه درباره سازوکار شکل‌گیری گرهک‌های تورمالین وجود دارند. ۱- تئوری جانشینی پسا ماقمایی یا پس از تبلور [۲۸، ۹، ۸]- ۲- تئوری ماقمایی- گرمایی [۱۰]. سازوکار اول با جانشینی دگرنهادی شاره‌های غنی از بور مراحل انتهایی ماقما در ارتباط است که به صورت پگماتیت و یا آپلیت ظاهر می‌شود در این روش بایستی بافت‌های حاصل از دگرسانی یا جانشینی در سنگ دیده شود [۸].

[۹] بافت گرهک‌های گرانیت را به شبه ریخته‌های گرانیت میزان نسبت می‌دهند. مثلاً گرانیت‌های درشت دانه میزان باعث تشکیل گرهک‌های بزرگ‌تر می‌شوند. شکاف‌های مو مانند در مرز دانه‌ها باعث مهاجرت و انتشار شاره‌های غنی از بور و در نهایت دگرسانی گرمایی گرانیت‌های میزان می‌شود. سازوکار شکل کروی گرهک‌ها به‌وسیله آن‌ها کاملاً مشخص نیست ولی به هسته‌زایی مرکزی در انتهای شکاف‌ها تأکید کرده‌اند [۹].

[۸] تشکیل هسته‌ی غنی از تورمالین را بر اساس واکنش زیر توضیح می‌دهد:



تشکیل گرهک تورمالین بر اساس واکنش بالا نیاز به وارد شدن مقادیری از B , Al , Fe و خروج سیلیس دارد.

به عقیده‌ی [۸] خاستگاه بور از شاره‌های مراحل انتهایی تبلور ماقماست، و پتاسیم و اسید واقع در واکنش بالا باعث شستشوی آهن از بیوتیت‌های سنگ میزان می‌شود و در نهایت تشکیل هاله‌ی روشن را با خروج عناصر فرومیزین در اطراف گرهک امکان پذیر می‌سازد. بنابراین روشن بالا نیز بر جانشینی دگرنهادی یا تورمالینیزاسیون گرانیت میزان تأکید دارد.

روش دوم یعنی فرضیه ماقمایی- گرمایی با جدایش و بدام افتادن شاره‌های غنی از بور غیر قابل ترکیب با ماقمای گرانیتی وابسته است [۱۰، ۷].

[۷] در بررسی گرهک‌های تورمالین در لوکوگرانیت‌های میوسن هیمالیا نشان داد که این گرهک‌ها بر اثر دگرنهادی حاصل از چرخش و جدایش شاره‌های غنی از بور به وجود می-

ممکن است این شاره‌ها با آب موجود در شبه پهنه‌های سقف توده واکنش دهد و منجر به تشکیل تورمالین‌هایی با هر دو خاستگاه ماقمایی و آبهای اطراف شود [۳۶، ۳۷]. بر عقیده‌ی [۳۸، ۳۹] B میل زیادی به فازهای آبدار دارد و نمی‌تواند وارد ساختار کانی‌های معمول سنگ‌های گرانیتی (کوارتز، فلدسپار و میکا) شود بنابراین، این عنصر خوش‌های بوراتی آبداری در گدازه‌های مراحل انتهاهی تشکیل می‌دهد.

به عقیده‌ی [۴۰، ۴۲] اگر جدایی حباب‌ها با کاهش فشار، ضمن حرکت رو به بالای شاره با سرعت انجام شود، حباب‌ها قادر به واکنش با شاره‌های شبه پهنه‌ای دیواره، ایجاد هاله‌ی روشن پیرامون گرهک‌ها و رده‌بندی مشخص در تورمالین نخواهد شد و بهدلیل بالا بودن نسبت $\text{Fe}/\text{Fe}+\text{Mg}$ ترکیب تورمالین‌ها معمولاً شورلیت خواهد بود. در حالی که اگر جدایش حباب‌ها به آرامی صورت گیرد ضمن حرکت شاره به سمت بالا با شاره‌های شبه پهنه‌ای واکنش داده و شرایط تبلور یک شرایط نیمه جامد و یا نزدیک به جامد خواهد شد. با این تغییر در سیستم تبلور، رده‌بندی در بلور تورمالین به وجود می‌آید و واکنش با سنگ‌های اطراف منجر به بالا رفتن نسبت $\text{Mg}/\text{Mg}+\text{Fe}$ شده و در نهایت تورمالین تبلور یافته ترکیب دراویت خواهد داشت.

شكل کروی گرهک‌های تورمالین، جدایی فیزیکی آن‌ها از زمینه، عدم رده بندی مشخص و شورلیت بودن تورمالین‌های دهگاه، عدم وجود هرگونه شکاف‌های مومنند از شواهد ماقمایی بودن گرهک‌های دهگاه‌ند. در حالی که وجود شکاف‌های ریز، هاله‌ی روشن در اطراف گرهک سرسختی، رده‌بندی Mg بالا در حاشیه و Fe بالا در مرکز و داشتن ترکیب دراویت از جمله شواهد تغییر در ترکیب تورمالین ضمن تبلور و یا شرایط رشد زیر خط انجماد تبلور تورمالین است.

برداشت

بر اساس مشاهدات زمین‌شناسی، بافتی و کانی‌شناسی در دو منطقه‌ی دهگاه و سرسختی، انباست تورمالین به صورت گرهک حاصل یک فاز شاری غنی از بور مراحل انتهاهی تبلور ماقما بوده که از ماقمای در حال تبلور جدا شده است. هنگامی که ماقمای گرانیتی تحت اشباع از فازهای بخار بر اساس چگالی کمتر نسبت به فازهای متبولور شده به سطح بالاتر و کم عمق تر انتقال می‌یابد باعث جدایی فازها یا حباب‌های بخاردار حاوی بور شده و در نهایت گرهک‌های تورمالین تشکیل شده است.

شود. وجود گرهک‌های تورمالین نشان می‌دهد که شکل کروی کمترین مقدار انرژی آزاد گیبس و انرژی سطحی را دارد. شواهد زمین‌شناسی و ژئوشیمی مانند وجود زینولیت‌های پلیتی، حضور آندالوزیت در هر دو منطقه‌ی مورد بررسی، وجود میگماتیت‌ها در اطراف بروجرد [۱۵] وجود کرندوم در زینولیت‌های آستانه [۳۰] تشکیل گدازه‌ی اولیه به وسیله ذوب پوسته در یک محیط برخورده را تأیید می‌کنند [۳۱، ۳۲].

ذوب بخشی شبه متاپلیت در aH_2O پایین، سازوکار احتمالی تشکیل گرانیتوئیدهای میزبان گرهک‌های تورمالین سرسختی و دهگاه است. این گرانیتوئیدها در یک محیط پلوتونیک کم عمق تشکیل می‌شوند به طوری که گرهک‌های تورمالین دهگاه در درون دایک‌های اسیدی (آپلیت‌ها) قرار دارند که در مراحل پایانی تبلور ماقما تزریق شده‌اند و گرهک‌های با حاشیه روشن منطقه سرسختی در مونزو-گرانیت‌ها تشکیل شده‌اند که وجود شکاف‌های مومنند یا میارولیتی حاکی از کم عمق بودن میزبان این گرهک‌ها بوده‌اند. به عقیده‌ی [۱۲، ۲۹، ۳۳] در طول ذوب شبه پهنه‌ها با خروج مقدار کمی از گدازه، مقدار B و آب در ماقمای باقیمانده حاصل از ذوب بالا می‌رود که اگر این غنی شدگی از B و آب ادامه یابد جدایش و شاره‌ی غنی از بور ادامه می‌یابد و تبلور تورمالین رخ می‌دهد.

جدایش ماقمایی باعث تشکیل یک مایع [آبغون] غیر قابل ترکیب از سیلیس و گدازه‌ی آبدار در سقف توده و یک شاره‌ی غنی از Fe، B و Na می‌شود و در نتیجه سازوکاری برای جدایش حباب‌های غنی از عناصر فوق و تشکیل گرهک‌های تورمالین خواهد شد [۱۳]. الومینیم مورد نیاز برای تشکیل تورمالین از دگرسانی فلدسپارها و انتقال آن در مرز هاله‌ی روشن به مرکز تیره گرهک تأمین می‌شود.

بر اساس نظریه [۳۴، ۳۵] ذوب شبه پهنه‌ها در شرایط فشار پایین منجر به جدایش یا آزاد سازی فاز بخار غنی از Fe و B، Na در مرز یا پیشانی تبلور می‌شود. هنگامی که حجم بلورها در گدازه افزایش می‌یابد گرانیروی شاره‌ی باقیمانده افزایش می‌یابد که منجر به جدایش و تبلور گرهک‌های تورمالین و حرکت آن‌ها در شکاف‌های مونزو-گرانیت‌ها (منطقه سرسختی) می‌شود.

با حرکت رو به بالای شاره‌های غنی از بور و کاهش فشار در سطوح کم عمق، آزاد سازی و جدایش ادامه می‌یابد و در نهایت

- [7] Le Fort P., "Enclaves of the Miocene Himalayan leucogranites", In: Enclaves and granite petrology. Didier and Barbain (eds.), (1991) 35-47.
- [8] Nemec D., "Genesis of tourmaline spots in leucocratic granites", Neues Jahrbuch Mineralogic Monatshefte 7 (1975) 308-317.
- [9] Rozendaal A., Bruwer L., "Tourmaline nodules indicator of hydrothermal alteration and Sn-Zn-(W) mineralization in the Cape Granite Suite, South Africa", Journal of African Earth Sciences 21 (1995) 141-155.
- [10] Sinclair D.W., Richardson J.M., "Quartz-tourmaline orbicules in the Seagull Batholith, Yukon Territory", Canadian Mineralogist 30 (1992) 923-935.
- [11] Samson I.M., Sinclair W. D., "Magmatic hydrothermal fluids and the origin of quartz-tourmaline orbicles in the Seagull Batholith, Yukon Territory", Canadian Mineralogist 30 (1992) 937-954.
- [12] Dini A., Corretti A., Innocenti F., Rocchi S., Westerman D. S., "Sooty sweat stains or tourmaline spots? The Argonauts at Elba Island (Tuscany) and the spread of Greek trading in the Mediterranean Sea", In Piccardi, L., Masse, W. B. (eds) Myth and Geology. Geological Society, London, Special Publications 273 (2007) 227-243.
- [13] Trumbull R. B., Krienitz M.S., Gottesmann B., Wiedenbeck M., "Chemical and boron-isotope variations in tourmalines from S-type granite and its source rocks: the Erongo granite and tourmalinites in the Damara Belt, Namibia", Contributions to Mineralogy and Petrology 155 (2008) 1-18.
- [14] Perugini D., Poli G., "Tourmaline nodules from Capo Bianco aplite (Elba Island, Italy:an example of diffusion limited aggregation growth in a magmatic system", Contributions to Mineralogy and Petrology 153 (2007) 493-508.
- [۱۵] احمدی خلجی ا., "پترولوژی توده‌ی گرانیتیوئیدی بروجرد". پایان نامه دکتری، دانشکده علوم، دانشگاه تهران (۱۳۸۵).
- [۱۶] رادفر ج., "بررسی‌های زمین‌شناسی و پترولوژی سنگ‌های گرانیتیوئیدی تاحیه آستانه-گوشه". پایان نامه کارشناسی ارشد، دانشکده علوم، دانشگاه تهران (۱۳۶۶).
- [۱۷] احمدی خلجی ا., "بررسی پترولوژی و پتروفابریک توده‌های نفوذی و دگرگونی مجاورتی منطقه بروجرد". پایان نامه کارشناسی ارشد، دانشکده علوم، دانشگاه تهران (۱۳۷۸).

شکل کروی تورمالین بهدلیل پاسخ به حداقل نگه داشتن انرژی آزاد گیس است. بنابر این کاهش فشار، سرعت سرد شدن و در نهایت رفتار بور در سیستم‌های گرانیتی از جمله فاکتورهای اصلی تعیین کننده‌ی شکل گرهکی تورمالین و سازوکار شکل-گیری کروی آن است [۴۳-۴۱]. گرهک‌های تورمالین منطقه‌دهگاه با داشتن ترکیب شورلیت، بدون رده بندی (یا تغییر ناچیز) و بدون حاشیه روشن نشان می‌دهند که تورمالین‌ها در یک محیط کاملاً ماقمایی و در شرایطی با سرعت بالا (جدایی حباب‌ها از ماقمای اولیه به سرعت گرفته است) و بدون واکنش با شاره‌های حاصل از سنگ میزبان به وجود آمده‌اند. این در حالی است که وجود هاله‌ی روشن، رده بندی مشخص، ترکیب شورلیت تا دراویت گرهک‌های تورمالین منطقه‌سرسختی دلالت بر جدایی آرام حباب‌ها از ماقمای میزبان و واکنش با شاره‌های سنگ میزبان دارد.

مراجع

- [1] Maning D. A. C. "Chemical and morphological variation in tourmalines from the Hub Kapong batholith of peninsular Tailand", ineralogical Magazine 45 (1982) 139-147.
- [2] London D., "Stability of tourmaline in peraluminous granite systems: the boron cycle from anatexis to hydrothermal aureoles", European Journal of Mineralogy 11(1999) 253-262.
- [3] Taylor R.P., Ikingura J.R., Fallick A.E., Huang Yiming, Watkinson D.H., "Stable isotope compositions of tourmalines from granites and related hydrothermal rocks of the Karagwe-Ankolean belt, northern Tanzania", Chemical Geology (Isotope Geoscience Section) 94 (1992) 215-227.
- [4] Benard F., Moutou P., Pichavant M., "Phase relations of tourmaline leucogranites and the significance of tourmaline in silicic magmas". Journal of Geology 93 (1985) 271-291.
- [5] Shewfelt D., Ansdell K., Sheppard S., "The origin of tourmaline nodules in granites; preliminary findings from the Paleoproterozoic Scrubber Granite", Geological Survey of Western Australia Annual Review (2005) 59-63.
- [6] Didier J., "Mineral nodules", In: Didier, J. (ed.) Granites and Their Enclaves. The Bearing of Enclaves on the Origin of Granites. Elsevier, Amsterdam, Developments in Petrology 3 (1973) 357-368.

- [28] Rozendaal A., Bruwer L., Scheepers R., "Tourmaline nodules as indicators of Sn-Zn-(W) mineralization in the Cape Granite Suite, South Africa", *Mineral Deposits*, Pasava, Kribek & Zak (eds.), (1995) 511-513.
- [29] London D., Morgan G. B., VI. Wolf M. B., "Boron in granitic rocks and their contact aureoles", In Grew, E.S., Anovitz, L. (eds) *Boron: Mineralogy, Petrology and Geochemistry in the Earth's Crust*, Mineralogical Society of America, *Reviews in Mineralogy* 33 (1996) 299–330.
- [۳۰] طهماسبی ز، خلیلی م، احمدی خلجی ا، مکی زاده م.ع، " مقایسه انواع آمفیبول و ژئوتربوموبارومتری توده نفوذی آستانه (زون سنندج سیرجان)"، *مجله بلورشناسی و کانی* ایران، شماره ۲ (۱۳۸۸)، ص ۲۷۹-۲۹۰.
- [۳۱] طهماسبی ز، خلیلی م، احمدی خلجی ا، مکی زاده م.ع، "پتروزنر توده‌ی گرانیتیوئیدی جنوب شازند (جنوب غرب اراک)"، *پترولوزی*، شماره ۱ (۱۳۸۹)، ص ۸۷-۱۰۲.
- [۳۲] احمدی خلجی ا، ولی‌زاده م.و، اسماعیلی د، "پترولوزی و ژئوشیمی توده‌ی گرانیتیوئیدی بروجرد (غرب ایران)"، *مجله دانشکده علوم، دانشگاه تهران*، شماره ۱۰ (۱۳۸۶)، ص ۱۴-۱.
- [33] Wilke M., Nabelek P.I., Glascock M. D., "B and Li in Proterozoic metapelites from the Black Hills, U.S.A.: Implications for the origin of leuco-granitic magmas", *American Mineralogist* 87 (2002) 491-500.
- [34] Veksler I.V., "Liquid immiscibility and its role at the magmatic hydrothermal transition: a summary of experimental studies", *Chemical Geology* 210 (2004) 7-31.
- [35] Veksler I.V., Thomas R., "An experimental study of B-, P- and Frich synthetic granite pegmatite at 0.1 and 0.2 GPa", *Contributions to Mineralogy and Petrology* 143 (2002) 673–683.
- [36] Candela P. A., "Physics of aqueous phase evolution in plutonic environments", *American Mineralogist* 76 (1991) 1081-1091.
- [37] Candela P. A., "Combined chemical and physical model for plutonic devolatilization: A non-Rayleigh fractionation algorithm", *Geochimica et Cosmochimica Acta* 58 (1994) 2157–2167.
- [38] Dingwell D. B., Pichavant M., Holtz F., "Experimental studies of boron in granitic melts", In Grew, E.S., Anovitz, L. (eds) *Boron: Mineralogy, Petrology, and Geochemistry in the*
- [18] Ahmadi-Khalaji A., Esmaeily D., Valizadeh, M.V., Rahimpour-Bonab H., "Petrology and Geochemistry of the Granitoid Complex of Boroujerd, Sanandaj-Sirjan Zone, Western Iran", *Journal of Asian earth Sciences* 29 (2007) 859-877.
- [۱۹] میرسپهوند ف، طهماسبی ز، شاهرخی س، احمدی خلجی ا، خلیلی م، "ژئوشیمی و تعیین خاستگاه تورمالین های منطقه بروجرد". *مجله بلورشناسی و کانی شناسی ایران*، شماره ۲ (۱۳۹۱)، ص ۲۸۱-۲۹۲.
- [۲۰] طهماسبی ز، احمدی خلجی ا، رجاییه م، "تورمالین زائی در توده گرانیتیوئیدی آستانه (جنوب غرب اراک)". *مجله بلورشناسی و کانی شناسی ایران*، شماره ۳ (۱۳۸۸)، ص ۳۶۹-۳۸۰.
- [21] Boynton W.V., "Geochemistry of the rare earth elements: meteorite studies", In: Henderson, P. (ed) *Rare Earth Element Geochemistry*, Elsevier, Amsterdam (1984) 63–114.
- [22] Pivec E., Stempork M., Novak M., Lang J.K., "Tourmaline as a late-magmatic or post-magmatic mineral in granites of the Czech part of the Krusne Hory-Erzgebirge batholith and its contact zone". *Journal of the Czech Geological Society* 43 (1998) 17–23.
- [23] Gaweda A., Pieczka A., Kraczka J., "Tourmalines from the western Tatra Mountains (W-Carpathians, S-Poland): Their characteristics and petrogenetic importance", *European Journal of Mineralogy* 14 (2002) 943-955.
- [24] Pirajno F., Smithies R.H., "The FeO/(FeO+MgO) ratio of tourmaline: A useful indicator of spatial variations in granite-related hydrothermal mineral deposits", *Journal of Geochemical Exploration* 42 (1992) 371–381.
- [25] Yavuz F., Fuchs Y., Karakaya N., Karakaya M.C., "Chemical composition of tourmaline from the Asarcık Pb-Zn-Cu±U deposit, Sebinkarahisar, Turkey", *Mineralogy and petrology*, 94 (2008) 195-208.
- [26] Barbey P., "Diffusion-controlled biotite breakdown reaction textures at the solid/liquid transition in the continental crust", *Contribution to Mineralogy and Petrology* 154 (2007) 707–716
- [27] Thomas R., Forster H.J., Heinrich W., "The behavior of boron in a peraluminous granite-pegmatite system and associated hydrothermal solutions: a melt and fluid inclusion study", *Contributions to Mineralogy and Petrology* 144 (2003) 457–472.

examples from the Bohemian Massif, Czech Republic", Lithos 95 (2007) 148-164.

[42] Kubis M., Broska I., "The role of boron and flourine in evolved granitic rock systems (on the example of the Hnilec area, Western Carpathians)", *Geologica Carpathica* 56 (2005) 193–204.

[43] Balen D., Broska I., "Tourmaline nodules: products of devolatilization within, the final evolutionary stage of granitic melt?", *Geological Society, London, Special Publications* 350 (2011) 53-68.

Earth's Crust Mineralogical Society of America, *Reviews in Mineralogy* 33 (1996) 331–385.

[39] Dingwell D. B., "Granitic Melt Viscosities", *Geological Society, London, Special Publications* 168 (1999) 27-38.

[40] Burianek D., Novak M., "Morphological and compositional evolution of tourmaline from nodular granite at Lavicky near Velke Mezirici, Moldanubi cum, Czech Republic", *Journal of the Czech Geological Society* 49 (2004.) 81–90.

[41] Burianek D., Novak M., "Compositional evolution and substitutions in disseminated and nodular tourmaline from leucocratic granites: